
DSQSS Documentation

リリース **1.2.1**

DSQSS developers

2019年01月22日

Contents:

第 1 章	DSQSS とは？	1
1.1	概要	1
1.2	リリース情報	2
1.3	開発者	2
1.4	協力者	3
1.5	ライセンス	3
1.6	謝辞	3
1.7	連絡・問い合わせ先	3
第 2 章	インストーラ	5
2.1	必要なライブラリ	5
2.2	ダウンロード	5
2.3	フォルダ構成	5
2.4	インストーラ	6
第 3 章	使用方法	9
3.1	入力ファイルの作成	9
3.2	実行方法	12
3.3	モンテカルロ計算の流れ	12
第 4 章	DLA のチュートリアル	15
4.1	DSQSS/DLA とは	15
4.2	DSQSS/DLA による反強磁性ハイゼンベルグダイマーのエネルギー計算	15
4.3	DSQSS/DLA によるスピン鎖の帯磁率計算	17
4.4	DSQSS/DLA による正方格子スピンハートコアボソン系の粒子数計算	18
第 5 章	DSQSS/DLA のユーザーマニュアル	21
5.1	DLA の入力ファイル	21
5.2	DLA の入力ファイル生成ツール	33
5.3	向き付きループアルゴリズムソルバ <code>dla_H</code> , <code>dla_B</code>	36
5.4	DLA の出力ファイル	37
第 6 章	DSQSS/PMWA のチュートリアル	41
6.1	DSQSS/PMWA とは？	41

6.2	使用方法	41
6.3	DSQSS/PMWA によるスピン鎖のエネルギー計算	46
第 7 章	DSQSS/PMWA のユーザーマニュアル	49
7.1	DSQSS/PMWA の入力ファイル	49
7.2	DSQSS/PMWA の出力ファイル	51
第 8 章	アルゴリズム	55
8.1	経路積分サンプリング	55
8.2	ワーム更新法	56
8.3	マルチワームアルゴリズム	56
8.4	on-the-fly バーテックス法	56
8.5	バーテックス配置	57
8.6	ワームの生成・消滅	57
8.7	ワームの散乱	57
8.8	参考文献	58

第 1 章

DSQSS とは？

1.1 概要

DSQSS は、連続虚数時間向き付きループアルゴリズムに基づく量子モンテカルロ法によって離散空間上で定義された量子多体問題を解くためのプログラム群です。単位格子の情報、2 体相互作用ハミルトニアン of 行列要素などを入力ファイルとして広い範囲のモデルに対応しています。例えば、次元、格子の 1 辺の長さ、相互作用の異方性、スピンの大きさ、磁場の大きさ、温度などのパラメータを任意にとって、**XXZ** ハイゼンベルクモデルの計算を行うことができます。また、ボーズ系のシミュレーションも可能です。大規模並列化に対応したプログラム **PMWA** も含まれています。

DSQSS は、以下のサブシステム群から構成されています。

- シリアル版 DSQSS/DLA
 1. ハミルトニアン定義ファイルジェネレータ: hamgen_H (スピン系), hamgen_B (ボゾン系)
 2. 格子定義ジェネレータ: lattgene_C (超立方格子), lattgene_T (三角格子)
 3. アルゴリズムジェネレータ: dla_alg
 4. 量子モンテカルロ法エンジン (向き付きループアルゴリズム): dla_H (スピン系), dla_B (ボゾン系)
- 非自明並列版 DSQSS/PMWA
 1. 格子定義ジェネレータ: lattgene_P
 2. 量子モンテカルロ法エンジン (向き付きループアルゴリズム): pmwa_H (XXZ 模型), pmwa_B (ハードコアボゾン系)
- ツール
 1. 入力一括作成ツール: dsqss_pre.py

1.2 リリース情報

- 2018.10.19 dsqss Ver 1.2.0 CMake の導入, 入力ファイル生成支援スクリプト dsqss_pre.py の追加など
- 2015.11.20 dsqss-Ver.1.1.17+pmwa-Ver.1.1.2 GCC に対応, PMWA, configure 修正, その他/tool のスクリプトを追加
- 2014.03.28 Ver.1.1.16 シングルモード (非 MPI 環境) に対応
- 2013.07.22 Ver.1.1.15 レプリカ交換法の不具合の修正, マニュアルの一部修正
- 2013.01.10 Ver.1.1.14 メモリ増大の不具合の修正, マニュアルの一部修正
- 2012.10.03 Ver.1.1.13 サンプルの追加, その他微修正
- 2012.7.12 Ver.1.1.12 物性研システム B の MPI 環境に対応したマクロを生成
- 2012.6.7 Ver.1.1.11 doxygen, sphinx の自動生成 make の作成, その他微修正
- 2012.3.25 Ver.1.1.10 exact_H.cc の修正, 実行モジュール名 hamgen_H に変更
- 2012.3.23 Ver.1.1.9 runConfigure, dla.cc の不具合修正
- 2012.3.14 Ver.1.1.8 コード dla_alg.cc のコメント文修正
- 2012.2.29 Ver.1.1.6 バグ修正, マニュアルの整備追加
- 2011.9.30 Ver.1.1 レプリカ交換計算機能の追加
- 2011.9.25 Ver.1.0.20 温度の規格化, GNU 拡張の廃止等修正
- 2011.3.31 Ver.1.0

1.3 開発者

- 加藤康之 (東京大学工学系研究科)
- 川島直輝 (東京大学物性研究所)
- 坂倉耕太 (NEC)
- 鈴木隆史 (兵庫県立大学工学研究科)
- 原田健自 (京都大学情報学研究科)
- 正木晶子 (日立研究所)
- 本山裕一 (東京大学物性研究所)
- 吉見一慶 (東京大学物性研究所)

2018/10/19 現在

1.4 協力者

- 大久保毅 (東京大学理学系研究科)
- 加藤岳生 (東京大学物性研究所)

2018/10/19 現在

1.5 ライセンス

- GNU General Public License (GPL) に基づきます。
- 利用のための必須条件ではありませんが, 利用実態を把握したいので, 科学計算などに使用した場合, 関連公表論文の書誌情報などをアプリケーション管理者までお知らせ下さることを希望します。また, 論文などによる成果公開に際して謝辞に記載していただければ幸いです。

Acknowledgment Sample

Numerical results in the present paper were obtained by the quantum Monte Carlo program DSQSS(<https://github.com/qmc/dsqss/wiki>). This package is distributed under GNU General Public License version 3 (GPL v3) or later.

1.6 謝辞

本ソフトウェアの研究開発は, 一部, 次世代スパコンプロジェクト「次世代ナノ統合シミュレーションソフトウェア研究開発」および 2018 年度東京大学物性研究所ソフトウェア開発・高度化プロジェクトの援助によって行われました。ここに感謝の意を記します。

1.7 連絡・問い合わせ先

GitHub ページの issue もしくは DSQSS 開発者用メーリングリスト dsqss-dev@issp.u-tokyo.ac.jp にご連絡ください。

第 2 章

インストール

2.1 必要なライブラリ

DSQSS の使用には以下のプログラム・ライブラリが必要です。

- BLAS
- LAPACK
- (Optional) MPI (PMWA を使用する場合には必須)
- python 2.7 or 3.x

2.2 ダウンロード

- zip ファイルをダウンロードする場合

DSQSS の最新版は <https://github.com/issp-center-dev/dsqss/releases> からダウンロードできます。

- git を利用する場合

Git を利用されている方は、端末から以下のコマンドを打つことで直接ダウンロードできます。

```
$ git clone https://github.com/issp-center-dev/dsqss.git
```

2.3 フォルダ構成

DSQSS のダウンロード後に zip ファイルを解凍すると、ファイルが展開されます (git を利用された方は, clone を行ったファイル直下のフォルダ構成になります)。以下, 重要なファイル・フォルダについてその構成を記載します。

```
|— CMakeLists.txt
|— LICENSE
|— README.md
|— config
|   |— gcc.cmake
|   └─ intel.cmake
|— doc
|   |— en
|   └─ jp
|— sample
|   |— CMakeLists.txt
|   |— dla
|   └─ pmwa
|— src
|   |— common
|   |— dla
|   |— pmwa
|   └─ third-party
|       └─ boost
|— test
|   |— CMakeLists.txt
|   |— dla
|   |— pmwa
|   └─ tool
└─ tool
    |— CMakeLists.txt
    └─ dsqss_pre.py
```

2.4 インストール

インストールは以下の手順で行うことができます。以下、ダウンロードしたファイルの直下にいることを想定しています。

```
$ mkdir dsqss.build && cd dsqss.build
$ cmake ../ -DCMAKE_INSTALL_PREFIX=/path/to/install/to
$ make
```

/path/to/install/to をインストールしたい先のパスに設定してください。指定しなかった場合のデフォルト値は /usr/local です。なお、cmake がうまくいかない場合にも、コンパイラを直接指定するとうまくいくことがあります。詳細については <https://github.com/issp-center-dev/HPhi/wiki/FAQ> をご覧ください。

これにより各実行ファイルが dsqss.build/src フォルダ以下に作成されます。次に作成された実行ファイルが正常に動作するかテストするため、以下のコマンドを打ちます。

```
$ make test
```

テストが 100% 通過したことが確認できた後, 以下のコマンドを入力しインストールします.

```
$ make install
```

実行バイナリが先に指定したインストールパスにある bin ディレクトリに, サンプルが share/dsqss/VERSION/samples にインストールされます. なお, インストール先のパスを変更した場合には, 変更先のパスを `export` することでその場で実行できるようになります.

第 3 章

使用方法

DSQSS では予め定義されたモデルを簡易実行できるよう, 入力ファイル作成ツール `dsqss_pre.py` を用意しています. ここでは, このツールを利用した DSQSS の実行方法について簡単に説明します. なお, DSQSS/DLA では, 複雑なモデルをユーザーが定義し実行することも出来ます. 詳細については *DSQSS/DLA* のユーザーマニュアルをご覧ください.

3.1 入力ファイルの作成

`dsqss_pre.py` の実行には, テキストベースの入力ファイルが必要です. 以下に, 入力ファイルの例を記載します.

```
[System]
solver = DLA
[Hamiltonian]
model_type = spin
M = 1
J = 1.0
F = 0.0
[Lattice]
lattice_type = square
D = 1
L = 8
Beta = 10
[Parameter]
NPRES = 1000
NTHERM = 1000
NMCS = 1000
NSET = 10
SEED = 31415
NVERMAX = 10000000
algfile = algorithm.xml
latfile = lattice.xml
outfile = sample.log
```

入力ファイルでは、4つの区分で大別されるパラメータを指定します。keyword = parameter の形式で指定します。

1. System セクション

solver を keyword として各種ソルバーを設定します。ソルバーは DLA と PMWA の2種類から選択することが可能です。

2. Hamiltonian セクション

系の種別 (スピンもしくはボソン系) とハミルトニアンを構成するパラメータを指定します。

Parameter	Solver	type	default	備考
model_type	共通	str	spin	モデルのタイプは spin もしくは boson から選択します。

- model_type = spin の場合

Parameter	Solver	type	default	備考
M	DLA	int	1	局在スピンの大きさ S の2倍に等しい整数。
F	DLA	double	0.0	サイトにかかるボンドあたりの磁場 $F = h/z$ 。 z はサイトの配位数で、例えば正方格子なら $z = 4$ 。
J	DLA	double	1.0	交換相互作用。正で強磁性、負で反強磁性。
J _{xy}	PMWA	double	0.0	交換相互作用 J_{xy} 。正で強磁性、負で反強磁性。
J _z	PMWA	double	0.0	交換相互作用 J_z 。正で強磁性、負で反強磁性。
h	PMWA	double	0.0	縦磁場 h 。正で強磁性、負で反強磁性。
Gamma	PMWA	double	0.0	横磁場 Γ 。正で強磁性、負で反強磁性。

- model_type = boson の場合

Parameter	Solver	type	default	備考
t	共通	double	1.0	粒子のホッピングパラメータ.
U	共通	double	0.0	サイト内二体相互作用. 正が斥力.
V	共通	double	0.0	最近接二体相互作用. 正が斥力.
M	DLA	int	1	サイトあたりに占めることのできる粒子数の最大値.
F	DLA	double	0.0	ボンドあたりの化学ポテンシャル $F = \mu/z$. z はサイトの配位数で, 例えば正方格子なら $z = 4$.
mu	PMWA	double	0.0	化学ポテンシャル.
Gamma	PMWA	double	0.0	ソースターム ($b_i^\dagger + b_i$ の係数).

ハミルトニアンを構成するパラメータの詳細については, DSQSS/DLA については hamgen_B もしくは hamgen_H の入力ファイルの説明を, DSQSS/PMWA では入力ファイルの説明をご覧ください.

3. Lattice セクション

格子形状と逆温度を指定するセクションです.

Parameter	type	default	備考
lattice_type	str	square	格子形状を超格子 square もしくは三角格子 triangular から選択します (格子形状の種類は順次追加予定). PMWA では square のみ選択可能です.
D	int		格子の次元.
L	int		格子のサイズ. , で区切って ‘D’ 次元空間のサイズを指定します. 例えば, 二次元 2×4 の格子の場合は $L = 2, 4$ として指定します.
Beta	double	10.0	逆温度
NLdiv	int	1	(DSQSS/PMWA のみ使用): L で指定された格子の分割数 (各次元について等分割します).
NBdiv	int	1	(DSQSS/PMWA のみ使用): Beta の分割数.

各パラメータのより詳細な説明は, 対応する実行ファイルの説明をご覧ください.

4. Parameter セクション

計算条件を指定するセクションで, DSQSS/DLA および DSQSS/PMWA の入力ファイルと共通のキーワードを使用してパラメータを設定します. 定義可能なパラメータの詳細については各ソルバーの入力ファイルを参考にしてください.

3.2 実行方法

入力ファイル作成後は以下のコマンドを入力することで、ソルバー用の入力ファイルが作成されます (以下では入力ファイル名を `std.in` としています).

```
$ dsqss_pre.py -i std.in
```

DSQSS/DLA の場合は, `algorithm.xml`, `hamiltonian.xml`, `lattice.xml`, `param.in` が出力されます. DSQSS/PMWA の場合には, `lattice.xml`, `param.in` が出力されます. ソルバーの実行方法は, `dsqss_pre.py` の標準出力の最後に

```
Please type: xxxxxx
```

として, `xxxxxx` に実行すべきコマンドが記載されます (例えば, `DLA_H param.in`). MPI を利用する場合には, `xxxxxx` の前に `mpirun -np 8` などをつけて実行してください. なお, DSQSS では並列する乱数の数, PMWA では並列する乱数の数と総分割数 (空間分割数と虚時間分割数の積) の積をプロセス数に指定します. コマンドの実行結果の詳細については各ソルバーのチュートリアル・出力結果に記載してありますので, そちらを参照してください.

3.3 モンテカルロ計算の流れ

図 3.1 にモンテカルロ計算の流れを示します。

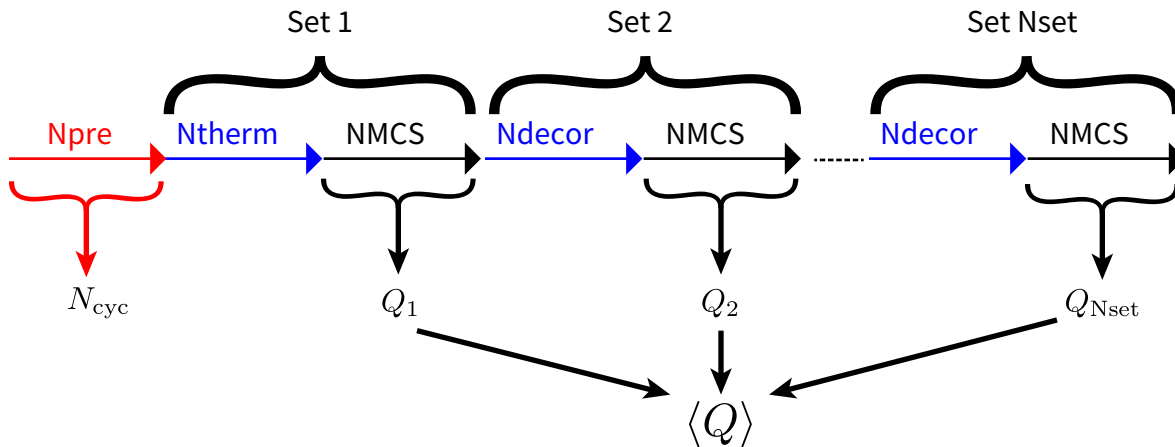


図 3.1 モンテカルロ計算のおおまかな流れと各種回数パラメータの図解

DSQSS では, ワームヘッド対が生成されてから消滅するまでを 1 MC ステップと呼び, N_{cyc} MC ステップをまとめて 1 MC スイープと呼びます. (ワームヘッド対の生成そのものに失敗した場合も 1 MC ステップです.) N_{cyc} の値ははじめの NPRES MC ステップで決定されます.

N_{cyc} が決まったら, 初期緩和フェーズとして N THERM MC スイープのシミュレーションが行われ, 引き続き NMCS MC スイープのシミュレーションが物理量測定フェーズとして行われます.

ある物理量測定フェーズと次の物理量測定過程フェーズとの間には, 自己相関軽減フェーズとして NDECOR MC スイープのシミュレーションが行われます.

初期緩和フェーズと物理量測定フェーズ, あるいは自己相関軽減フェーズと物理量測定フェーズの 2 つのフェーズをあわせたものが 1 セット となり, 全体のシミュレーションは NSET 個のセットを含みます. 物理量の期待値 $\langle Q \rangle$ と誤差 σ_Q は, NSET 個のセットそれぞれから得られる物理量の平均および標準誤差として得られます.

第 4 章

DLA のチュートリアル

4.1 DSQSS/DLA とは

DSQSS/DLA は世界線モンテカルロ法の向き付きループアルゴリズムを実装したプログラムです。負符号問題の現れない限り、任意の模型・任意の格子で磁化や帯磁率などの計算を行えます。ハイゼンベルグスピン模型やボーズ・ハバード模型を表す入力ファイルを作るツールや超立方格子・三角格子を表す入力ファイルを作るツールが付属しています。

この章では、環境変数 `$DSQSS_ROOT` で示されるディレクトリに `DSQSS` がインストールされていると仮定します。

4.2 DSQSS/DLA による反強磁性ハイゼンベルグダイマーのエネルギー計算

このチュートリアルでは、 $S = 1/2$ 反強磁性ハイゼンベルグダイマー $\mathcal{H} = J\vec{S}_1 \cdot \vec{S}_2$ の基底状態エネルギー計算をすることで、DSQSS/DLA の使い方を学びます。

DSQSS/DLA による計算は、

1. 入力ファイルの準備
2. 計算の実行
3. 計算結果の解釈

の 3 段階に分かれます。

4.2.1 入力ファイルの準備

DSQSS/DLA を実行するには、

1. パラメータファイル

2. 格子定義ファイル

3. アルゴリズム定義ファイル

の3つの入力ファイルが必要です。そのため、まずはこれらの入力ファイルを作成します。そのためのユーティリティツールが `dsqss_pre.py` です。これは単一の入力ファイルから、DSQSS/DLA および DSQSS/PMWA の入力ファイル生成する Python スクリプトです。まず、`dsqss_pre.py` の入力ファイルとして、次の内容を持つテキストファイル `std.in` を準備します (`sample/dla/01_spindimer/std.in`)。

```
[System]
solver = DLA
[Hamiltonian]
model_type = spin
M = 1           # S=1/2
J = -0.5        # coupling constant, negative for AF, not 1 but 1/2 due to PBC
F = 0.0         # magnetic field
[Lattice]
lattice_type = square # hypercubic, periodic
D = 1           # dimension
L = 2           # number of sites along each direction
Beta = 100      # inverse temperature
[Parameter]
nset = 5        # set of Monte Carlo sweeps
npre = 10       # MCSteps to estimate hyperparameter
ntherm = 10     # MCSweeps for thermalization
nmcs = 10       # MCSweeps for measurement
```

なお、このツールで作成される格子は周期的境界条件に従うために、2 サイト系でもボンドが2本生成されます。そのため、コメント (# 以下の文章) にもある通り、相互作用として -1 ではなく -0.5 を指定しています。

このファイルを `dsqss_pre.py` に与えます。

```
$ python $DSQSS_ROOT/bin/dsqss_pre.py -i std.in
```

この結果、パラメータファイル `param.in`、格子定義ファイル `lattice.xml`、アルゴリズム定義ファイル `algorithm.xml` と、アルゴリズム定義ファイル作成のための中間ファイル `hamiltonian.xml` が作成されます。

4.2.2 計算の実行

入力ファイルを作成したら、DSQSS/DLA による計算を実行します。

```
$ $DSQSS_ROOT/bin/dla_H param.in
```

なお、計算を実行するときに MPI を用いることで、乱数並列計算が可能です。

```
$ mpiexec -np 4 $DSQSS_ROOT/bin/dla_H param.in
```

並列数 (今回は 4) だけ独立に計算を行い、モンテカルロサンプル数を増やすことで計算精度を向上できます。^{*1}

4.2.3 計算結果の解釈

計算結果は出力ファイル `sample.log` に書き出されます。サイトあたりのエネルギーは `ene` という名前で記されており、たとえば `grep` コマンドで

```
$ grep ene sample.log
R ene = -3.74380000e-01 5.19493985e-03
```

と取得できます。2 つある数字はそれぞれ期待値と統計誤差です。反強磁性ハイゼンベルグダイマーの基底状態でのサイトあたりエネルギーは $-3|J|/8 = -0.375|J|$ なので、問題なく計算されていることがわかります。

4.3 DSQSS/DLA によるスピン鎖の帯磁率計算

このチュートリアルでは、局在スピンの大きさが $S = 1/2, 1$ である 2 種類の反強磁性ハイゼンベルグ鎖 ($J = -1, L = 30$) において、温度 T を 0.05 から 2.0 まで動かしたときの帯磁率変化を計算します。

次に示すのは、入力ファイルの生成と本計算を自動で行い、帯磁率の温度依存性をファイルに書き出す Python スクリプトです (`sample/dla/02_spinchain/exec.py`)。

```
import sys
import os.path
import subprocess

bindir = sys.argv[1] if len(sys.argv) > 1 else ''

name = 'xmzu'
Ms = [1,2]
Ts = [0.05, 0.1, 0.2, 0.3, 0.4, 0.5, 0.6, 0.7, 0.8, 0.9, 1.0, 1.25, 1.5, 1.75, 2.0]

for M in Ms:
    output = open('{}_{}.dat'.format(name,M), 'w')
    for i,T in enumerate(Ts):
        with open('std_{}_{}.in'.format(M,i), 'w') as f:
            f.write('')
    solver = DLA
    model_type = spin
```

(次のページに続く)

^{*1} macOS 上の OpenMPI を使う場合、プログラム終了時にエラーメッセージが出る場合があります (No such file or directory (errno 2))。DSQSS/DLA の実行自体に影響はありませんが、これを抑制したい場合は、`--mca shmем posix` オプションを `mpiexec` に付与してください。

```

J = -1
F = 0.0
lattice_type = square
D = 1
L = 30
nset = 5
ntherm = 1000
ndecor = 1000
nmcs = 1000
'''
    f.write('M = {}\n'.format(M))
    f.write('beta = {}\n'.format(1.0/T))
    f.write('outfile = res_{}_{}.dat\n'.format(M,i))
cmd = [os.path.join(bindir, 'dsqss_pre.py'),
       '-p', 'param_{}_{}.in'.format(M,i),
       '-i', 'std_{}_{}.in'.format(M,i)]
subprocess.call(cmd)
cmd = [os.path.join(bindir, 'dla_H'), 'param_{}_{}.in'.format(M,i)]
subprocess.call(cmd)
with open('res_{}_{}.dat'.format(M,i)) as f:
    for line in f:
        if not line.startswith('R'):
            continue
        words = line.split()
        if words[1] == name:
            output.write('{} {} {}\n'.format(T, words[3], words[4]))

```

環境変数 `$DSQSS_ROOT` が設定されているならばそのまま実行できますが、そうでない場合は実行ファイルがインストールされているディレクトリを引数として渡します。

```
$ python exec.py $DSQSS_ROOT/bin
```

$S = 1/2$ の結果が `xmzu_1.dat` に、 $S = 1$ の結果が `xmzu_2.dat` にそれぞれ書き出されます (図 4.1)。スピンの大きさによって、スピギャップの有無が異なり、その結果として絶対零度付近での帯磁率の振る舞いが異なってくるのがわかります。

4.4 DSQSS/DLA による正方格子上ハードコアボソン系の粒子数計算

このチュートリアルでは、大きさ 8×8 の正方格子上の、 $V/t = 3$, $\beta t = 10$ というパラメータを持つハードコアボーズハバード模型について、化学ポテンシャル μ を -4.0 から 14.0 まで動かして計算を行い、粒子数密度の変化を計算します。

次に示すのは、入力ファイルの生成と本計算を自動で行い、粒子数密度の化学ポテンシャル依存性をファイルに書き出すスクリプトです (`sample/dla/03_bosesquare/exec.py`)。

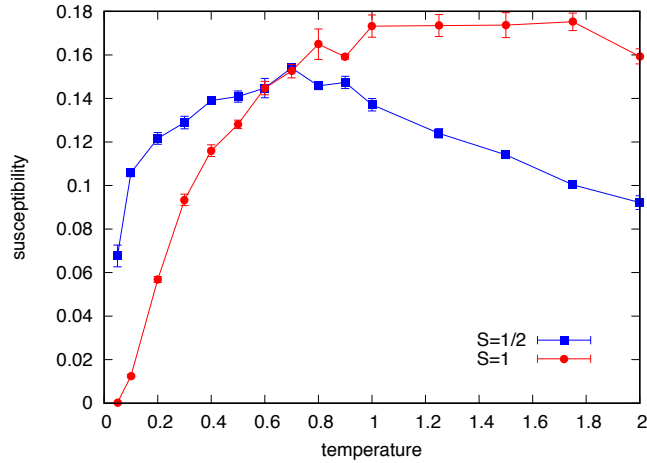


図 4.1 反強磁性ハイゼンベルグスピン鎖の帯磁率の温度依存性. 青が $S = 1/2$ で赤が $S = 1$ の結果.

```

import sys
import os.path
import subprocess

bindir = sys.argv[1] if len(sys.argv) > 1 else ''

name = 'amzu'
mus = [-4.0, -2.0, 0.0, 2.0, 2.5, 3.0, 6.0, 9.0, 9.5, 10.0, 12.0, 14.0]

output = open('{} .dat'.format(name), 'w')

for i,mu in enumerate(mus):
    with open('std_{}.in'.format(i), 'w') as f:
        f.write('''
solver = DLA
model_type = boson
M = 1
J = 1
U = 0
V = 3
beta = 10.0
lattice_type = square
D = 2
L = 8,8
nset = 4
ntherm = 100
ndecor = 100
nmcs = 100
''')
        f.write('F = {} \n'.format(mu/4))

```

(次のページに続く)

```

f.write('algfile = algorithm_{}.xml\n'.format(i))
f.write('outfile = res_{}.dat\n'.format(i))
cmd = [os.path.join(bindir, 'dsqss_pre.py'),
       '-p', 'param_{}.in'.format(i),
       '-i', 'std_{}.in'.format(i)]
subprocess.call(cmd)
cmd = [os.path.join(bindir, 'dla_B'), 'param_{}.in'.format(i)]
subprocess.call(cmd)
with open('res_{}.dat'.format(i)) as f:
    for line in f:
        if not line.startswith('R'):
            continue
        words = line.split()
        if words[1] == name:
            output.write('{} {} {} \n'.format(mu, words[3], words[4]))

```

環境変数 `$DSQSS_ROOT` が設定されているならばそのまま実行できますが、そうでない場合は実行ファイルがインストールされているディレクトリを引数として渡します。

```
$ python exec.py $DSQSS_ROOT/bin
```

結果は `amzu.dat` に書き出されます (図 4.2)。 $\mu = 6$ 付近では密度プラトーが観測されます。ここでは近接サイト間の反発によりチェッカーボード固体相になっています。

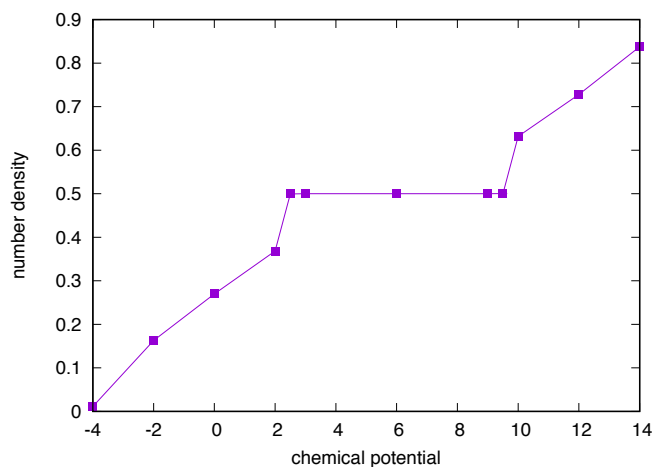


図 4.2 正方格子上のボースハバード模型における密度の化学ポテンシャル依存性.

第 5 章

DSQSS/DLA のユーザーマニュアル

DSQSS/DLA workflow

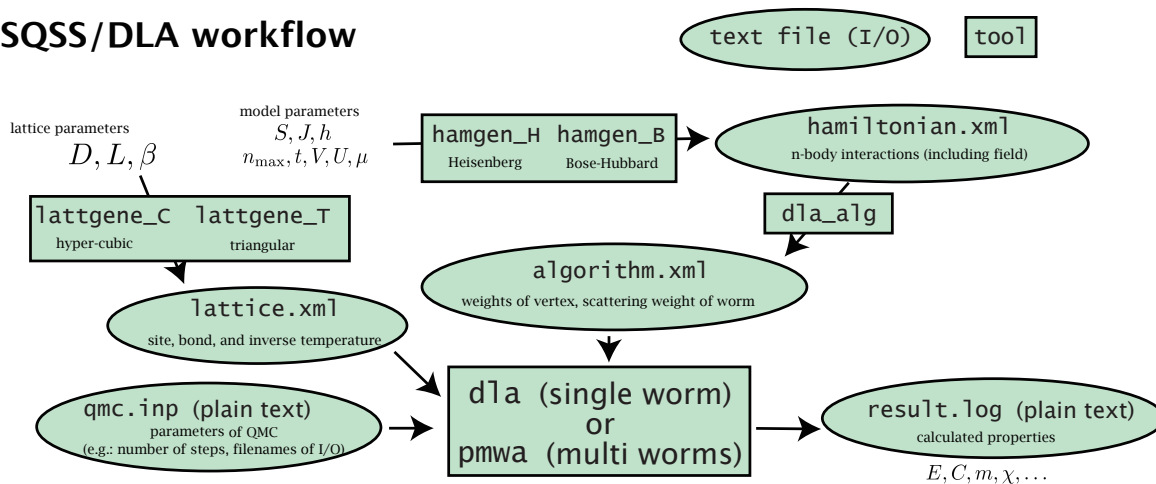


図 5.1 DSQSS/DLA のワークフロー

5.1 DLA の入力ファイル

5.1.1 入力ファイル一覧

qmc.inp	モンテカルロの繰り返し回数など、計算制御のためのパラメータファイル。
lattice.xml	格子の定義ファイル。
algorithm.xml	アルゴリズム（ワームの散乱確率など）の定義ファイル。
sf.xml	構造因子の波数定義ファイル。
cf.xml	実空間温度グリーン関数の座標定義ファイル。

5.1.2 パラメータファイル `qmc.inp`

パラメータファイルは次に示すような書式のプレーンテキストファイルです。

- 1行あたり1パラメータを、`<name> = <value>` という形式で表します。
- ファイル名以外は大文字小文字を区別しません。
- 空行, 空白は無視されます。
- `"#"` から行末まではコメントとして無視されます。

パラメータのリストと意味を以下に示します。

パラメータ名	型	デフォルト値	説明
beta	double	-	逆温度. <code>lattice.xml</code> での指定を上書きする。
npre	int	1000	モンテカルロスイープ中のワーム対生成回数を求める事前計算のためのモンテカルロ試行回数。
ntherm	int	1000	熱平衡化のためのモンテカルロスイープ数。
ndecor	int	1000	セット間の自己相関を取り除くためのモンテカルロスイープ数。
nmcs	int	1000	物理量計算のためのモンテカルロスイープ数。
nset	int	10	モンテカルロ計算の繰り返し数。
simulationtime	int	0.0	計算時間 (単位は秒)。詳細は後述。
seed	int	198212240	疑似乱数の種。
nvermax	int	10000	最大バーテックス数。
nsegmax	int	10000	最大セグメント数。
algfile	int	<code>algorithm.xml</code>	アルゴリズム定義ファイル名。
latfile	string	<code>lattice.xml</code>	格子定義ファイル名。
sfinpfile	string	-	構造因子定義ファイル名。空文字列の場合、構造因子は計算されない。
cfinpfile	string	-	実空間表示温度グリーン関数定義ファイル名。空文字列の場合、実空間表示温度グリーン関数は計算されない。
ckinpfile	string	-	波数空間表示温度グリーン関数定義ファイル名。空文字列の場合、波数空間表示温度グリーン関数は計算されない。
outfile	string	<code>sample.log</code>	メイン出力ファイル名。
sfoutfile	string	<code>sf.dat</code>	構造因子出力ファイル名。
cfoutfile	string	<code>cf.dat</code>	実空間表示温度グリーン関数出力ファイル名。
ckoutfile	string	<code>ck.dat</code>	波数空間表示温度グリーン関数出力ファイル名。
runtype	int	0	計算手法。"互換性および将来の拡張のために用意されている。"

- simulationtime について
 - simulationtime > 0.0 のとき
 - * 指定秒数が経過するか, 計算が完了したとき, 途中経過をチェックポイントファイルに書き出した後, プログラムを終了します.
 - * 計算開始時にチェックポイントファイルがある場合, そのファイルを読み込んだ後に計算を再開します.
 - * チェックポイントファイルの名前は outfile で指定されるメイン出力ファイル名の末尾に .cjob をつけたものです.
 - simulationtime <= 0.0 のとき
 - * チェックポイントファイルは無視され, 書き出しも読み込みも行われません.

5.1.3 格子定義ファイル lattice.xml

格子ファイルは時空間の情報, たとえばサイトの数やサイト同士のつながりかた, 逆温度の大きさなどを定義するための, XML ライクな形式で記述されるテキストファイルです. これは一般に複雑になりえるので, 正方格子などのよく使われる格子については, 格子定義ファイル作成のための補助ツール lattgene が用意されています.

格子ファイルはただ一つの要素 Lattice を持ち, すべての情報は Lattice 要素の内容として含まれます.

Lattice ファイル全体の要素. ほかのすべての要素は Lattice のサブ要素です.

Lattice/Comment 省略可能. コメント文を示し, 計算には使用されません.

Lattice/Dimension 格子の次元.

Lattice/Beta 逆温度. パラメータファイルでの指定が優先されます.

Lattice/LinearSize ユニットセルを単位とした, 各次元の格子の長さ. 内容として, スペース区切りの正整数を Lattice/Dimension で指定した数だけ並べたものをとります.

```
<LinearSize> 3 4 </LinearSize>
# ユニットセルが第 1 次元方向に 3 個, 第 2 次元方向に 4 個並んでいる場合
```

Lattice/NumberOfCells ユニットセルの総数. LinearSize で指定した各次元方向のサイズの積.

Lattice/NumberOfSites サイトの総数. ユニットセルの総数と 1 セル内のサイト数の積.

Lattice/NumberOfInteractions 相互作用項の総数. 二体相互作用のみの場合は, いわゆる「ボンド数」.

Lattice/NumberOfSiteTypes サイトの種類数.

Lattice/NumberOfInteractionTypes 相互作用の種類数.

Lattice/BondDimension Winding number を測定する際に定義する要素.

Lattice/NumberOfEdgeInteractions Winding number を測定する際に定義する要素. 格子の周期的境界をまたぐボンドの総数を指定します.

Lattice/S サイト情報. **Lattice/NumberOfSites** で指定したサイト数だけ指定する必要があります. 内容として, 「サイト番号」, 「サイトタイプ」, 「測定タイプ」の3つの整数をスペース区切りで持ちます. サイトタイプの詳細は別途アルゴリズム定義ファイルの中で定義します.

```
<S> 3 0 1 </S>
# サイト番号が3のサイトはサイトタイプが0で, 測定タイプは1である.
```

Lattice/I 相互作用情報. **Lattice/NumberOfInteractions** で指定した相互作用数だけ指定する必要があります. 内容として, 「相互作用番号」, 「相互作用タイプ」, 「相互作用サイト数」, 「相互作用サイト番号」を指定するために, 相互作用サイト数+3個の整数をスペース区切りで持ちます. 相互作用タイプの詳細 — たとえば相互作用の大きさ — は別途アルゴリズム定義ファイルの中で定義します. サイト番号の順序は, アルゴリズム定義ファイルの **Algorithm/Vertex/InitialConfiguration** 要素で用いられるサイトの並び順と整合させる必要があります.

```
<I> 5 1 2 8 12 </I>
# 相互作用番号が5である相互作用は相互作用タイプが1で, 2つのサイトが関与し,
# それらのサイト番号は8と12である.
```

5.1.4 アルゴリズム定義ファイル `algorithm.xml`

アルゴリズム定義ファイルは相互作用ごとのワームの散乱確率などを定義する, XML ライクな形式で記述されるテキストファイルです. これは一般に複雑になりえるので, より簡単なハミルトニアン定義ファイルから自動生成するためのツール `dla_alg` が用意されています.

アルゴリズム定義ファイルはただ一つの要素 **Algorithm** を持ち, すべての情報は **Algorithm** 要素の内容として含まれます.

Algorithm ファイル全体の要素名. サブ要素として, **General**, **Site**, **Interaction**, **Vertex** があります. ワームの生成・消滅・散乱の仕方を定義します.

Algorithm/Comment 省略可能. コメント文を示し, 計算には使用されません.

Algorithm/General サブ要素として, **NSType**, **NIType**, **NVType**, **NXMax**, **WDiag** があります. サイトの種類数や相互作用の種類数など, アルゴリズム定義の基本パラメータを設定します.

```
<Algorithm>
  <General>
    <NSType> 1 </NSType>
    <NIType> 1 </NIType>
```

(次のページに続く)

(前のページからの続き)

```

<NVType> 2 </NVType>
<NXMax> 2 </NXMax>
<WDiag> 0.25 </WDiag>
</General>
...
</Algorithm>

```

Algorithm/General/NSType 異なるサイト型の個数を指定する整数値.

Algorithm/General/NIType 異なる相互作用型の個数を指定する整数値.

Algorithm/General/NVType 異なるバーテックス型の個数を指定する整数値.

Algorithm/General/NXMax 各サイトが取りうる状態の数の最大値. 例えば大きさ S のスピン系ならば $2S + 1$.

Algorithm/General/WDiag ユーザが改変する `measure_specific.cc` 以外では用いられないので, その中で使われない場合には指定する必要はありません. (標準の `measure_specific.cc` では, ワームの行程長から相関関数を求めるときの比例係数として用いられています. この量に興味がない場合は, 任意の数を指定してください.)

Algorithm/Site 1つのサイト型を定義します. 具体的には, そのサイト型をもつサイトに対する操作を定義します. サイトにワームを生成消滅する過程もここで定義します. サブ要素として, `SType`, `NumberOfStates`, `VertexTypeOfSource`, `InitialConfiguration` があります.

```

<Algorithm>
...
<Site>
  <STYPE> 0 </STYPE>
  <NumberOfStates> 2 </NumberOfStates>
  <VertexTypeOfSource> 0 </VertexTypeOfSource>
  <InitialConfiguration>
    ...
  </InitialConfiguration>
  <InitialConfiguration>
    ...
  </InitialConfiguration>
</Site>
...
</Algorithm>

```

Algorithm/Site/SType 定義されるサイト型の識別番号.

Algorithm/Site/NumberOfStates サイトが取りうる状態の数.

Algorithm/Site/VertexTypeOfSource 挿入される可能性のあるバーテックスのタイプ.

Algorithm/Site/InitialConfiguration 初期条件の定義. 初期条件ごとのワーム対の生成消滅過程を定義もこの要素のなかで行われます. サブ要素として, `State`, `NumberOfChannels`, `Channel` があります.

```

<Algorithm>
...
<Site>
...
  <InitialConfiguration>
    <State> 0 </State>
    <NumberOfChannels> 2 </NumberOfChannels>
    <Channel> 0 1 0.5 </Channel>
    <Channel> 1 1 0.5 </Channel>
  </InitialConfiguration>
...
</Site>
...
</Algorithm>

```

Algorithm/Site/InitialConfiguration/State ワーム対が生成される前（もしくは消滅後）のサイトの状態.

Algorithm/Site/InitialConfiguration/NumberOfChannels 可能性のある終状態（チャンネル）の数.

Algorithm/Site/InitialConfiguration/Channel 各チャンネルの定義. 整数値, 整数値, 浮動小数点値の3つの並びで指定.

- 第1の値はワーム生成後のヘッドの向き（0は虚時間方向負の向き, 1は正の向き）.
- 第2の値はワーム生成後のヘッドとテールの間の状態.
- 第3の値はそのような終状態をとる確率.

終状態としてワーム対を生成しない場合は, その **Channel** の第1と第2の整数値はともに -1 とする.

Algorithm/Interaction 1つの相互作用型を定義します. サブ要素として **IType**, **VType**, **NBody**, **EBase**, **VertexDensity** があります.

```

<Algorithm>
...
<Interaction>
  <IType> 0 </IType>
  <VType> 1 </VType>
  <NBody> 2 </NBody>
  <EBase> 0.125 </EBase>
  <VertexDensity> 0 0 0.25 </VertexDensity>
  <VertexDensity> 1 1 0.25 </VertexDensity>
</Interaction>
...
</Algorithm>

```

Algorithm/Interaction/IType 相互作用の型の識別番号.

Algorithm/Interaction/VType 挿入する可能性のあるバーテックスの型の識別番号. バーテックス型の内容は

Vertex/Algorithm で定義します。

Algorithm/Interaction/NBody 相互作用に関与するサイトの数（ゼーマン項のような 1 体相互作用であれば 1 で、交換相互作用のような 2 体相互作用であれば 2, 3 以上を指定することも可能）。

Algorithm/Interaction/EBase エネルギーオフセットの値。シミュレーション自体には影響しませんが、最終的なエネルギーの値を出すときに使用されます。

Algorithm/Interaction/VertexDensity 関与するサイトの状態ごとに挿入するバーテックスの密度を指定します。
Algorithm/Interaction/NBody 個の整数値と、1 個の浮動小数点値の並びで指定。整数値は、関与する各サイトの状態（順序は格子定義ファイルの I で指定するサイト番号の順序と対応します）。浮動小数点値は密度。

Algorithm/Vertex 1 つのバーテックスの型を定義します。バーテックスとしては、通常の 2 体, 3 体, ……の相互作用を記述するもの（VCategory=2）と、ワームヘッドがテールと消滅する場合のテール（VCategory=1）があります。Algorithm/Interaction の要素になりえるのは、前者です。（このほか、時間方向の周期境界（VCategory=0）も 1 体のバーテックスとして扱っていますが、これをユーザが定義する必要はありません。）サブ要素として VType, VCategory, NBody, NumberOfInitialConfigurations, InitialConfiguration があります。

```
<Algorithm>
...
<Vertex>
  <VTYPE> 0 </VTYPE>
  <VCATEGORY> 1 </VCATEGORY>
  <NBODY> 1 </NBODY>
  <NumberOfInitialConfigurations> 4 </NumberOfInitialConfigurations>
  <InitialConfiguration>
    ...
  </InitialConfiguration>
  ...
  <InitialConfiguration>
    ...
  </InitialConfiguration>
</Vertex>
...
</Algorithm>
```

Algorithm/Vertex/VType バーテックス型の識別番号。バーテックス型の定義ごとに異なる番号である必要があります。

Algorithm/Vertex/VCategory 1 がワームテール, 2 が相互作用。

Algorithm/Vertex/NBody 相互作用に関与するサイトの個数。テールの場合には 1。

Algorithm/Vertex/NumberOfInitialConfigurations バーテックスの可能な初期状態数。

Algorithm/Vertex/InitialConfiguration 特定のバーテックス初期状態に対するワームの可能なアクションを定義します。従って、この要素は、Algorithm/Vertex/NumberOfInitialConfigurations の値と同じ数だけ存在する

必要があります。サブ要素として、State, IncomingDirection, NewState, NumberOfChannels, Channel があります。

```
<Algorithm>
...
<Vertex>
...
  <InitialConfiguration>
    <State> 1 0 0 1 </State>
    <IncomingDirection> 0 </IncomingDirection>
    <NewState> 0 </NewState>
    <NumberOfChannels> 1 </NumberOfChannels>
    <Channel> 3 0 1.0000000000000000 </Channel>
  </InitialConfiguration>
...
</Vertex>
...
</Algorithm>
```

この例で定義されているのは、「バーテックスの左下 (0), 左上 (1), 右下 (2), 右上 (3) の脚の状態がそれぞれ 1, 0, 0, 1 であって、そこに、左下（脚 0 の方向）から、その脚の状態を 0 に変化させるような ワームヘッドが入射した場合」のアクションであり、その内容は、「確率 1 で、そのワームヘッドを脚 3 の方向に散乱させて、その方向の足の状態を 0 に変更する」ことを表しています。（つまり、この散乱が起こった場合、散乱後のバーテックスの状態は 0, 0, 0, 0 になる。）

Algorithm/Vertex/InitialConfiguration/State ワームヘッドが入ってくる前のバーテックスの初期状態を指定します。具体的にはバーテックスの各脚の状態を指定します。足の本数は、Algorithm/Vertex/NBody で指定される数 (=m) の 2 倍なので、2m 個数の整数値をスペースで区切ったものを入力します。その順序として、脚は対応するサイトの順序に並べられ、同じサイトに対応する 2 本の脚については、虚数時間の小さい側が先に来ます。（サイトの並び順は任意でよいが、格子定義ファイルの Lattice/I 要素で指定されているサイトの並び順はここで用いられたサイトの順序と整合している必要があります。）各整数はバーテックスの足の状態を示す 0 から n-1 までの値。（ここで、n は対応するサイトの、Algorithm/Site/NumberOfStates で指定される値。）

Algorithm/Vertex/InitialConfiguration/IncomingDirection 入射するワームヘッドが入射前に乗っている脚の番号。対応する足が Algorithm/Vertex/InitialConfiguration/State の記述において何番目に出てくるかを 0 から 2m-1 の整数値で指定。

Algorithm/Vertex/InitialConfiguration/NewState ワームヘッドが通過したあとの Algorithm/Vertex/InitialConfiguration/IncomingDirection の足の状態。0 から n-1 の整数値で指定。

Algorithm/Vertex/InitialConfiguration/NumberOfChannels 可能な散乱チャンネルの個数。

Algorithm/Vertex/InitialConfiguration/Channel 散乱チャンネルの定義。Algorithm/Vertex/InitialConfiguration/NumberOfChannels の個数だけこの要素を用意する必要があります。2 つの整数値と 1 つの浮動小数点値をスペースで区切ったもので指定。

- 第 1 の整数値は、散乱後のワームヘッドが乗っている足の番号を 0 から 2m-1 の値で指定したもの。

- 第2の整数値は、ワームヘッドが飛び去ったあとのその足の状態を0から $n-1$ の値で指定したもの。
- 第3の浮動小数点値は、そのチャンネルを選ぶ確率。

特別な場合として、ワームヘッドがテールに衝突して消滅する場合があります、この場合は第1引数と第2引数に -1 を指定します。

5.1.5 ハミルトニアン定義ファイル `hamiltonian.xml`

ハミルトニアン定義ファイルは局所ハミルトニアン、例えばボンドハミルトニアン、を指定する、XML ライクな形式で記述されるテキストファイルです。 `dla_alg` の入力として、アルゴリズム定義ファイルを作成するために用いる補助入力ファイルとなっています。ハイゼンベルグ模型などのよく用いられる模型については、補助ツール `hamgen_H`, `hamgen_B` が用意されています。

ハミルトニアン定義ファイルはただ一つの要素 **Hamiltonian** を持ち、すべての情報は **Hamiltonian** 要素の内容として含まれます。

Hamiltonian ファイル全体の要素名。サブ要素として、**General**, **Site**, **Source**, **Interaction** があります。局所ハミルトニアンを定義します。

Hamiltonian/General サブ要素として、**NSTYPE**, **NITYPE**, **NXMAX**, **Comment** があります。サイトの種類数や相互作用の種類数など、ハミルトニアン定義の基本パラメータを設定します。

```
<Hamiltonian>
  <General>
    <Comment> SU(2) Heisenberg model with S=1/2 </Comment>
    <NSTYPE> 1 </NSTYPE>
    <NITYPE> 1 </NITYPE>
    <NXMAX> 2 </NXMAX>
  </General>
  ...
</Hamiltonian>
```

Hamiltonian/General/Comment 省略可能。コメント文を示し、計算には使用されません。

Hamiltonian/General/NSTYPE 異なるサイト型の個数を指定する整数値。

Hamiltonian/General/NITYPE 異なる相互作用型の個数を指定する整数値。

Hamiltonian/General/NXMAX 各サイトが取りうる状態の数の最大値。例えば大きさ S のスピン系ならば $2S+1$

Hamiltonian/Site 1つのサイト型を定義します。具体的には、このサイトの状態数などを指定します。サブ要素として、**STYPE**, **TTYPE**, **NX** があります。

```

<Hamiltonian>
...
<Site>
  <STYPE> 0 </STYPE>
  <TTYPE> 0 </TTYPE>
  <NX> 2 </NX>
</Site>
...
</Hamiltonian>

```

Hamiltonian/Site/STYPE 定義されるサイト型の識別番号.

Hamiltonian/Site/TTYPE 定義されるサイト型における, **Hamiltonian/Source** で記述される ワームの生成・消滅演算の識別番号.

Hamiltonian/Site/NX サイトが取りうる状態の数.

Hamiltonian/Source 1つのソース型,つまり、ワームの生成・消滅演算を定義します. サブ要素として, **TTYPE**, **STYPE**, **Weight** があります.

```

<Source>
  <TTYPE> 0 </TTYPE>
  <STYPE> 0 </STYPE>
  <Weight> 0 1      0.5000000000000000 </Weight>
  <Weight> 1 0      0.5000000000000000 </Weight>
</Source>

```

Hamiltonian/Source/TTYPE 定義されるソース型の識別番号.

Hamiltonian/Source/STYPE 定義されるソース型が適用されるサイト型の識別番号.

Hamiltonian/Source/Weight 生成・消滅演算子の重み. 2個の整数値と1個の浮動小数点数の組み合わせで指定. 2個の整数はそれぞれ演算子を適用する前と後の状態を示す状態番号で, 浮動小数点数は行列要素. たとえば, 0 1 0.5 は $\langle 1|H|0\rangle = 0.5$ を示します.

Hamiltonian/Interaction 1つの相互作用型を定義します. サブ要素として **ITYPE**, **STYPE**, **NBODY**, **Weight** があります.

```

<Hamiltonian>
...
<Interaction>
  <ITYPE> 0 </ITYPE>
  <NBODY> 2 </NBODY>
  <STYPE> 0 0 </STYPE>
  <Weight> 0 0 0 0      -0.2500000000000000 </Weight>
  <Weight> 1 1 0 0      0.2500000000000000 </Weight>
  <Weight> 1 0 0 1      0.5000000000000000 </Weight>
  <Weight> 0 1 1 0      0.5000000000000000 </Weight>

```

(次のページに続く)

(前のページからの続き)

```

    <Weight> 0 0 1 1      0.2500000000000000 </Weight>
    <Weight> 1 1 1 1      -0.2500000000000000 </Weight>
  </Interaction>
  ...
</Hamiltonian>

```

Hamiltonian/Interaction/ITYPE 相互作用の型の識別番号.

Algoihtn/Interaction/NBODY 相互作用に関与するサイトの数 (ゼーマン項のような 1 体相互作用であれば 1 で, 交換相互作用のような 2 体相互作用であれば 2, 3 以上を指定することも可能) .

Hamiltonian/Interaction/ITYPE 相互作用が適用されるサイト型の識別番号. **NBODY** 個の整数値で指定します.

Hamiltonian/Interaction/Weight 局所ハミルトニアン of 行列要素を指定します. $2 \times \text{NBODY}$ 個の整数値と, 1 個の浮動小数点値の並びで指定. 整数値は, 関与する各サイトのそれぞれについて, 相互作用演算子が適用される前と後の状態で, 浮動小数点値は行列要素の大きさ. ただし, 対角成分の場合には -1 をかけて, 非対角成分の場合は, 絶対値を取ります*1.

たとえば, $0\ 0\ 1\ 1\ 0.25$ は $\langle 01|\mathcal{H}|01\rangle = -0.25$ を, $0\ 1\ 1\ 0\ 0.5$ は $|\langle 10|\mathcal{H}|01\rangle| = 0.5$ を示します.

5.1.6 構造因子定義ファイル `sf.xml`

構造因子定義ファイルは, 動的構造因子

$$S^{zz}(\vec{k}, \tau) \equiv \left\langle M^z(\vec{k}, \tau) M^z(-\vec{k}, 0) \right\rangle - \left\langle M^z(\vec{k}, \tau) \right\rangle \left\langle M^z(-\vec{k}, 0) \right\rangle$$

を計算するための波数や虚時間刻みの情報が XML ライクな形式で記述されるテキストファイルです. 構造因子定義ファイル作成のための補助ツール `sfgene` が用意されています.

格子ファイルはただ一つの要素 **StructureFactor** を持ち, すべての情報は **StructureFactor** 要素の内容として含まれます.

StructureFactor ファイル全体の要素名. サブ要素として, **Ntau**, **NumberOfElements**, **CutoffOfNtau**, **NumberOfInverseLattice**, **SF** があります.

StructureFactor/Comment 省略可能. コメント文を示し, 計算には使用されません.

StructureFactor/Ntau 虚時間軸の分割数.

StructureFactor/CutoffOfNtau 動的構造因子の虚時間指数 τ の最大値. **StructureFactor/Ntau** 以下の整数で指定します.

StructureFactor/NumberOfInverseLattice 波数 \vec{k} の数.

*1 これは, DSQSS/DLA は「絶対値系」を計算することを意味しています. DSQSS v2 では, 符号リウエイティングを実装することで, この制限を取り除くことが予定されています.

StructureFactor/NumberOfElements 波数と座標の組み合わせの総数. **StructureFactor/NumberOfInverseLattice** と **Lattice/NumberOfSites** の積.

StructureFactor/SF 内積 $\vec{r} \cdot \vec{k}$ の情報. **StructureFactor/NumberOfElements** で指定した数だけ指定する必要があります. 内容として, 「 $\cos(\theta)$ の値」, 「 $\sin(\theta)$ の値」, 「サイト番号」, 「波数番号」の4つの数字をスペース区切りで持ちます. ここで θ はサイト番号で示されるサイトの座標 \vec{r} と波数番号で示される波数 \vec{k} との内積です.

5.1.7 実空間表示温度グリーン関数定義ファイル **cf.xml**

実空間表示温度グリーン関数定義ファイルは, 実空間表示温度グリーン関数

$$G(\vec{r}_{ij}, \tau) \equiv \langle M_i^+(\tau) M_j^- \rangle$$

を計算するための相対座標 \vec{r}_{ij} の情報が XML ライクな形式で記述されるテキストファイルです. 実空間表示温度グリーン関数定義ファイル作成のための補助ツール `cfgene` が用意されています.

格子ファイルはただ一つの要素 **CorrelationFunction** を持ち, すべての情報は **CorrelationFunction** 要素の内容として含まれます.

CorrelationFunction ファイル全体の要素名. サブ要素として, **Ntau**, **NumberOfKinds**, **CF** があります.

CorrelationFunction/Comment 省略可能. コメント文を示し, 計算には使用されません.

CorrelationFunction/Ntau 虚時間軸の分割数.

CorrelationFunction/NumberOfKinds 取りうる相対座標の数.

CorrelationFunction/CF **CorrelationFunction/NumberOfKinds** で指定した数だけ指定する必要があります. 内容として, 「相対座標のインデックス」, 「サイト i のインデックス」, 「サイト j のインデックス」の3つの整数をスペース区切りで持ちます.

5.1.8 波数表示温度グリーン関数定義ファイル **ck.xml**

波数表示温度グリーン関数定義ファイルは, 波数表示温度グリーン関数

$$G(\vec{k}, \tau) \equiv \langle M^+(\vec{k}, \tau) M^-(\vec{k}, 0) \rangle$$

を計算するための波数や虚時間刻みの情報が XML ライクな形式で記述されるテキストファイルです.

要素名を含めて, 動的構造因子定義ファイルと全く同じ構造を持つため, 流用が可能です.

5.2 DLA の入力ファイル生成ツール

DLA は入力ファイルとして格子定義ファイル, アルゴリズム定義ファイル, 構造因子定義ファイル, 実空間表示温度グリーン関数定義ファイル, 波数空間表示温度グリーン関数定義ファイルを, それぞれ XML 形式ファイルとして受け取ります. これらをうまく定義することで, 計算機資源の許す範囲で任意の格子やモデルを計算できますが, 手で定義するには複雑になっています. そのため, 超立方格子やハイゼンベルグモデルなどのよく使われるような格子・モデルについては生成ツールが用意されています.

5.2.1 超立方格子生成ツール `lattgene_C`

`lattgene_C` は周期境界条件を持つ D 次元超立方格子を表す格子定義ファイルを生成するためのツールです.

```
$ lattgene_C [-o filename] D L1 L2 ... LD BETA
```

パラメータは以下の通り.

`D` 格子の次元.

`L1 L2 ... LD` 格子のサイズ. D 個の整数をスペース区切りで入力します.

`BETA` 逆温度. 浮動小数点数で入力.

`filename` 出力ファイル名. デフォルトは `lattice.xml` です.

実行すると `filename` で指定した名前の格子定義ファイルが生成されます.

実行例

```
## 8 サイトの一次元鎖で, 逆温度は 10.0
$ lattgene_C 1 8 10.0

## 6x6 サイトの正方格子で, 逆温度は 10.0, ファイル名は lat.xml
$ lattgene_C -o lat.xml 2 6 6 10.0
```

5.2.2 三角格子生成ツール `lattgene_T`

`lattgene_T` は周期境界条件を持つ三角格子を表す格子定義ファイルを生成するためのツールです.

```
$ lattgene_T [-o filename] L1 L2 BETA
```

パラメータは以下の通り.

`L1 L2` 格子のサイズ.

`BETA` 逆温度. 浮動小数点数で入力.

filename 出力ファイル名. デフォルトは lattice.xml です.

実行すると filename で指定した名前の格子定義ファイルが生成されます.

実行例

```
## 6x6 サイトの三角格子で, 逆温度は 10.0  
$ lattgene_T 1 8 10.0
```

5.2.3 ハイゼンベルグスピンハミルトニアン生成ツール hamgen_H

hamgen_H はハイゼンベルグスピン模型

を表すハミルトニアンファイルを生成するツールです.

```
$ hamgen_H [-o filename] M J F
```

パラメータは以下の通り.

M 局在スピンの大きさ S の 2 倍に等しい整数.

J 交換相互作用. 正で強磁性, 負で反強磁性.

F サイトにかかる, ボンドあたりの磁場 $F = h/z$. z はサイトの配位数で, たとえば正方格子なら $z = 4$ です.

filename 出力ファイル名. デフォルトは hamiltonian.xml です.

実行すると filename で指定した名前を持つファイルが生成されます.

実行例

```
## 磁場なしの反強磁性 S=1/2 ハイゼンベルグ模型  
$ hamgen_H 1 -1.0 0.0  
  
## 磁場ありの強磁性 S=1 ハイゼンベルグ模型, ファイル名は ham.xml  
$ hamgen_H -o ham.xml 2 1.0 1.0
```

5.2.4 ボーズハバードハミルトニアン生成ツール hamgen_B

hamgen_B はボーズハバード模型

を表すハミルトニアンファイルを生成するツールです.

```
$ hamgen_B [-o filename] M t V U F
```

パラメータは以下の通り.

- M サイトあたりに占めることのできる粒子数の最大値.
- t 粒子のホッピングパラメータ.
- V 最近接二体相互作用. 正が斥力です.
- U サイト内二体相互作用. 正が斥力です.
- F サイトにかかる, ボンドあたりの化学ポテンシャル $F = \mu/z$. z はサイトの配位数で, たとえば正方格子なら $z = 4$ です.

filename 出力ファイル名. デフォルトは hamiltonian.xml です.

実行すると filename で指定した名前を持つファイルが生成されます.

5.2.5 アルゴリズム生成ツール dla_alg

dla_alg はハミルトニアン生成ツールで生成したハミルトニアンファイルからアルゴリズム定義ファイルを生成するツールです.

```
$ dla_alg HFILE AFILE
```

パラメータは以下の通り.

HFILE 読み込むハミルトニアンファイル. 省略した場合は hamiltonian.xml が指定されます.

AFILE 書き出されるアルゴリズム定義ファイル. 省略した場合は algorithm.xml が指定されます.

5.2.6 構造因子定義ファイル生成ツール sfgene

sfgene は超立方格子における構造因子定義ファイルを生成するツールです.

```
$ sfgene [-o filename] D L_1 ... L_D Ntau Ntau_cutoff KTYPE
```

パラメータは以下の通り.

D 格子の次元.

L_1 ... L_D 格子のサイズ. D 個の整数をスペース区切りで入力します.

Ntau 虚時間軸の分割数.

Ntau_cutoff 虚時間方向の距離 $d\tau$ の最大値.

KTYPE 計算する波数 k のパターンを指定します.

- KTYPE==0 の場合

$k_x = n\pi/L_x, n = 0, 2, \dots, L$ となります. k_y や k_z はすべてゼロです.

- KTYPE==1 の場合

たとえば 3 次元では, $k/\pi = (0, 0, 0), (1, 0, 0), (0, 1, 0), (1, 1, 0), \dots, (1, 1, 1)$ となります.

filename 出力ファイル名. デフォルトは sf.xml です.

実行すると filename で指定した名前の構造因子定義ファイルが生成されます.

5.2.7 実空間表示温度グリーン関数定義ファイル生成ツール **cfgene**

cfgene は実空間表示温度グリーン関数定義ファイルを生成するツールです.

```
$ cfgene [-o filename] D L_1 ... L_D Ntau
```

パラメータは以下の通り.

D 格子の次元.

L_1 ... L_D 格子のサイズ. D 個の整数をスペース区切りで入力します.

Ntau 虚時間軸の分割数.

filename 出力ファイル名. デフォルトは sf.xml です.

実行すると filename で指定した名前の実空間表示温度グリーン関数定義ファイルが生成されます.

5.3 向き付きループアルゴリズムソルバ **dla_H, dla_B**

dla_H と dla_B は向き付きループアルゴリズムを実装した量子モンテカルロプログラムです. コマンドライン引数として入力ファイルをとります. dla_H はスピン系用のプログラムで, dla_B はボーズ粒子系用のプログラムであり, 同じ計算を行いますが, 出力される物理量が異なります. 例えば amzu は dla_H では磁化を, dla_B では粒子数密度を表します.

MPI 実行した場合, 指定したプロセスの数 N_{proc} だけ乱数並列を行います. 各プロセスは独立に, 入力ファイル中の NSET で指定したセット数だけモンテカルロ計算をします. その結果, 合計のセット数が N_{proc} 倍され, 統計誤差は $1/\sqrt{N_{\text{proc}}}$ 倍になることが期待されます.

実行例

```
$ dla_H param.in
$ mpiexec -np 4 dla_B param.in
```


5.4 DLA の出力ファイル

5.4.1 フォーマット

DLA は計算結果を行区切りのプレーンテキストファイルで出力します。行頭の文字はその行の意味を表します。

P <name> = <value> 入力パラメータファイルと格子ファイルから読み取ったパラメータ。

R <name> = <mean> <error> 計算で求められた物理量。<mean> は平均値を、<error> は標準誤差を示します。

I <text> = <value> その他計算中に得られた情報。

C <text> コメント。

以下にサンプル（反強磁性ハイゼンベルグ鎖）を示します。

```
C This is DSQSS ver.1.2.0

P D      =          1
P L      =          8
P BETA   =    10.0000000000000000
P NSET   =          10
P NMCSE  =         1000
P NMCSD  =         1000
P NMCS   =         1000
P SEED   =    198212240
P NSEGMX =         10000
P NVERMX =         10000
P NCYC   =          7
P ALGFILE = algorithm.xml
P LATFILE = lattice.xml
P CFINPFILE = cf.xml
P SFINPFILE = sf.xml
P CKINPFILE = sf.xml
P OUTFILE  = res.dat.000
P CFOUTFILE = cfout.dat.000
P SFOUTFILE = sfout.dat.000
P CKOUTFILE = ckout.dat.000
P SIMULATIONTIME =    0.000000
R anv = 3.03805000e+00 1.25395375e-02
R ene = -4.55991910e-01 1.20267537e-03
R spe = -1.76672204e-02 4.09064489e-02
R len = 1.20014021e+01 4.78403202e-02
R xmx = 3.00035053e-01 1.19600800e-03
R amzu = -2.00000000e-04 1.08972474e-04
R bmzu = -2.00000000e-04 1.08972474e-04
R smzu = 1.32382500e-03 1.40792745e-04
```

(次のページに続く)

```

R xmzu = 1.32382500e-02 1.40792745e-03
R amzs = -9.25000000e-04 4.02247160e-03
R bmzs = -2.03918502e-04 2.22828174e-03
R smzs = 8.72503175e-01 8.93939492e-03
R xmzs = 3.00500011e+00 2.99056535e-02
R time = 9.01378000e-08 1.61529255e-09
I [the maximum number of segments] = 123
I [the maximum number of vertices] = 66
I [the maximum number of reg. vertex info.] = 3

```

以下の物理量定義に現れる記号の意味を示します.

N_s サイト数.

$Q(\vec{k})$ 格子点 i 上で定義される任意の演算子 Q_i のフーリエ変換.

$$Q(\vec{k}) \equiv \frac{1}{\sqrt{N_s}} \sum_i^{N_s} Q_i e^{-i\vec{r}_i \cdot \vec{k}}$$

$Q(\tau)$ 虚時間 τ における演算子.

$$Q(\tau) \equiv \exp[\tau\mathcal{H}] Q(\tau=0) \exp[-\tau\mathcal{H}]$$

\tilde{Q} 任意の演算子 Q について, 虚時間方向の平均 $\frac{1}{\beta} \int_0^\beta d\tau Q(\tau)$

M^z 局所自由度の量子化軸方向成分. たとえばスピン系では局在スピン演算子の z 成分 S^z で, ボース粒子系では数演算子 n です.

M^\pm M^z の昇降演算子. スピン系では $M^\pm \equiv S^\pm$, ボース粒子系では生成消滅演算子 $M^+ \equiv b^\dagger$ および $M^- \equiv b$.

M^x 非対角秩序変数. スピン系では $M^x \equiv (S^+ + S^-)/2$, ボース粒子系では $M^x \equiv (b + b^\dagger)$.

T 温度.

β 逆温度.

h M^z に共役な外場. スピン系では縦磁場, ボース粒子系では化学ポテンシャル.

$\langle Q \rangle$ 任意の演算子 Q のグランドカノニカル平均.

5.4.2 メイン出力

メイン出力ファイルは, 入力パラメータファイルの `outfile` キーワードで指定した名前でも出力されます.

`anv` 平均バーテックス数.

$$\frac{\langle N_v \rangle}{N_s}$$

ene エネルギー密度.

$$\epsilon \equiv \frac{1}{N_s} (E_0 - T \langle N_v \rangle)$$

spe 比熱.

$$C_V \equiv \frac{\partial \epsilon}{\partial T}$$

len 平均ワーム長さ.

xmx 横感受率.

amzu 「磁化」 (uniform, $\tau = 0$).

$$m^z \equiv \frac{1}{N_s} \sum_i^{N_s} M_i^z \text{ としたときの } \langle m^z \rangle.$$

bmzu 「磁化」 (uniform, τ 平均). $\langle \tilde{m}^z \rangle$.

smzu 構造因子 (uniform).

$$S^{zz}(\vec{k} = 0) \equiv \frac{1}{N_s} \sum_{i,j} e^{i\vec{k} \cdot (\vec{r}_i - \vec{r}_j)} [\langle M_i^z M_j^z \rangle - \langle M_i^z \rangle \langle M_j^z \rangle] \Big|_{\vec{k}=0} = N_s [\langle (m^z)^2 \rangle - \langle m^z \rangle^2]$$

xmzu 縦感受率 (uniform).

$$\chi^{zz}(\vec{k} = 0, \omega = 0) \equiv \frac{\partial \langle \tilde{m}^z \rangle}{\partial h} = \beta N_s [\langle (\tilde{m}^z)^2 \rangle - \langle \tilde{m}^z \rangle^2]$$

amzs 「磁化」 ("staggered", $\tau = 0$)

$$m_s^z \equiv \frac{1}{N_s} \sum_i^{N_s} M_i^z \cos \left(2\pi \frac{\text{mtype}(i)}{N_{\text{mtype}}} \right) \text{ としたときの } \langle m_s^z \rangle. \text{ ここで } \text{mtype}(i) \text{ は } i \text{ サイトの測定種類 (格子ファイル参照) , } N_{\text{mtype}} \text{ は測定種類の総数.}$$

bmzs 「磁化」 ("staggered", τ 平均). $\langle \tilde{m}_s^z \rangle$.

smzs 構造因子 ("staggered").

$$S^{zz}(\vec{k}_s) = N_s [\langle (m_s^z)^2 \rangle - \langle m_s^z \rangle^2]$$

xmzs 縦感受率 ("staggered").

$$\chi^{zz}(\vec{k}_s, \omega = 0) = \beta N_s [\langle (\tilde{m}_s^z)^2 \rangle - \langle \tilde{m}_s^z \rangle^2]$$

5.4.3 構造因子出力ファイル

構造因子出力ファイルは、入力パラメータファイルの `sfoutfile` キーワードで指定した名前でも出力されます。このファイルには虚時間構造因子

$$S^{zz}(\vec{k}, \tau) \equiv \langle M^z(\vec{k}, \tau) M^z(-\vec{k}, 0) \rangle - \langle M^z(\vec{k}, \tau) \rangle \langle M^z(-\vec{k}, 0) \rangle$$

が出力されます。波数 \vec{k} や虚時間 τ の値は、物理量名を用いて

```
R C0t0 = 1.32500000e-03 1.40929454e-04
R C0t1 = 1.32500000e-03 1.40929454e-04
R C1t0 = 7.35281032e-02 3.18028565e-04
```

のように $C\langle k \rangle t \langle t \rangle$ という形で区別されます。ここで $\langle k \rangle$ は構造因子入力ファイルの `kindex` (SF タグの最終要素) で指定される波数のインデックスで、 $\langle t \rangle$ は離散化した虚時間のインデックス。

5.4.4 実空間表示温度グリーン関数出力ファイル

実空間表示温度グリーン関数出力ファイルは、入力パラメータファイルの `cfoutfile` キーワードで指定した名前前で出力されます。このファイルには温度グリーン関数

$$G(\vec{r}_{ij}, \tau) \equiv \langle M_i^+(\tau) M_j^- \rangle$$

が出力されます。変位 \vec{r}_{ij} や虚時間 τ の値は構造因子と同様に、 $C\langle k \rangle t \langle t \rangle$ という形で物理量名によって区別されます。ここで $\langle k \rangle$ は実空間温度グリーン関数入力ファイルの `kind` (CF タグの第一要素) で指定される変位のインデックスで、 $\langle t \rangle$ は離散化した虚時間のインデックス。

5.4.5 波数表示温度グリーン関数出力ファイル

波数表示温度グリーン関数出力ファイルは、入力パラメータファイルの `ckoutfile` キーワードで指定した名前前で出力されます。このファイルには温度グリーン関数

$$G(\vec{k}, \tau) \equiv \langle M^+(\vec{k}, \tau) M^-(\vec{k}, 0) \rangle$$

が出力されます。波数 \vec{k} や虚時間 τ の値は構造因子と同様に、 $C\langle k \rangle t \langle t \rangle$ という形で物理量名によって区別されます。ここで $\langle k \rangle$ は波数表示温度グリーン関数入力ファイルの `kindex` (SF タグの最終要素) で指定される変位のインデックスで、 $\langle t \rangle$ は離散化した虚時間のインデックス。

第 6 章

DSQSS/PMWA のチュートリアル

6.1 DSQSS/PMWA とは？

大規模並列計算向け非局所更新アルゴリズムを実装した世界線量子モンテカルロ法のパッケージ。有限温度の大規模格子系を取り扱うことができ、 $S=1/2$ 量子多体系（XXZ スピン模型, Heisenberg 模型, 横磁場 Ising 模型などのスピン模型やハードコア・ボース粒子系など）を統計誤差の範囲内で厳密に計算することができます。基本的には任意の物理量が測定可能ですが、デフォルトではワームソース場有限の下でのエネルギー、縦磁化、横磁化、ワインディングナンバーや、虚時間 $S^z S^z$ スピン相関関数などを測定できます。

6.2 使用方法

PMWA は以下の手順で使用します。

1. 格子定義ファイルの作成 (lattgene_P を利用)
2. 入力ファイルの作成
3. PMWA の実行 (ボゾン系 : pmwa_B, スピン系 : pmwa_H の実行)
4. 出力ファイルの生成

また、1, 2 を同時に行うための簡易ツール dsqss_pre.py も用意されています。ここでは 1-4 について使用方法やパラメータについて順に説明します。

6.2.1 格子定義ファイルの作成

PMWA では標準的な模型に対して格子定義ファイル lattice.xml を生成するための簡易ツールとして lattgene を用意しています。ここでは lattgene の使用方法について説明します。

lattgene では cubic lattice に関する格子定義ファイルを作成することが出来ます。指定するパラメータは下記の通りです。

Parameter	type	備考
D	int	次元数
L	int	格子のサイズ (各次元について連続で指定します)
B	double	逆温度
NLdiv	int	L の分割数 (各次元についてそれぞれ NLdiv 分割します)
NBdiv	int	B の分割数
NFIELD	int	磁場の種類の数 (基本的には 0 に設定)

使用例を以下に記載します。

- 1 次元 8 サイト, 逆温度 10.0, 分割数は 1 の場合の格子ファイルを定義

```
$ lattgene 1 8 10.0 1 1 0
```

- 2 次元 4*4 サイト, 逆温度 10.0, 分割数は 1 の場合の格子ファイルを定義

```
$ lattgene 2 4 4 10.0 1 1 0
```

6.2.2 DSQSS/PMWA の入力ファイルの作成

PMWA を実行するには, テキスト形式の入力ファイルが必要です. 入力ファイルでは計算条件を指定するパラメータとハミルトニアンを指定するパラメータの二種類があります.

以下, 入力ファイル例を記載します

```
RUNTYPE = 0
NSET    = 10
NMCS    = 10000
NPRE    = 10000
NTHERM  = 10000
NDECOR  = 10000
SEED    = 31415
NC       = 0
NVERMAX = 10000000
NWORMAX = 1000
latfile  = lattice.xml
outfile  = sample.log
CB       = 2
G        = 0.3
U        = 0
V        = 3
t        = 1
MU       = 2
NMAX     = 1
```

各パラメータの意味は下記の通りです.

- 計算条件のパラメータ

Parameter	type	備考
RUNTYPE	int	計算モード (0: 通常計算,1: リスタート計算)
CB	int	初期配置 (0: Vacuum,1: Checker-Board,2: Random)
NSET	int	モンテカルロ計算の繰り返し数
NMCS	int	物理量計算に用いるモンテカルロスイープ数
NPRES	int	1 スイープあたりのワーム生成試行回数を決めるための事前計算につかうモンテカルロステップ数
NMCSE	int	初期緩和に用いるモンテカルロスイープ数
NMCSN	int	測定間のモンテカルロスイープ数
SEED	int	0 以上の場合は実際に使用するシード, 負の場合は乱数でシードを与える.
NVERMAX	int	バーテックスの最大数 (デフォルト数 10^8), -1 の場合は上限なし.
NWORMMAX	int	ワームの最大数 (デフォルト数 10^3), -1 の場合は上限なし.
SFINPFILE	str	入力された場合, 本ファイルで指定された Structure Factors を計算する.
SFOUTFILE	str	入力された場合, Structure Factors を指定したファイルに出力する (デフォルトは sf.out).
Step_x	int	相関関数を計算する場合の空間幅を与える (デフォルト:1).
Step_k	int	波数表示の相関関数を計算する場合の波数空間幅を与える (デフォルト:1).
CFOUTFILE	str	入力された場合, 相関関数を指定したファイルに出力する (デフォルトは cf.out).

ここで, NVERMAX, NWORMMAX については自動でリサイズして決定します (ver. 1.2.0 で実装).

- 相互作用関連のパラメータ

PMWA ではハードコアボソン系 (サイトに最大 1 つのボソン) と $S=1/2$ の XXZ 模型について計算可能です. ハードコアボソン系のハミルトニアンは

$$\mathcal{H} = -t_b \sum_{\langle i,j \rangle} b_i^\dagger b_j + U_{BB} \sum_i n_i(n_i - 1) + V_{B1} \sum_{\langle i,j \rangle} n_i n_j + \mu \sum_i n_i - \Gamma \sum_i (b_i^\dagger + b_i),$$

で与えられます. ここで $\langle i, j \rangle$ は最近接のペアを表します. $S=1/2$ の XXZ 模型は

$$\mathcal{H}^{XXZ} = -J_{xy} \sum_{\langle i,j \rangle} (S_i^x S_j^x + S_i^y S_j^y) - J_z \sum_{\langle i,j \rangle} S_i^z S_j^z - H \sum_i S_i^z - \Gamma \sum_i S_i^x,$$

で与えられます. 入力ファイルで指定するパラメータと上記式のパラメータは以下のように対応しています.

Parameter	Boson	Spin
t	t_b	J_{xy}
U	U_{BB}	-
V	V_{B1}	J_z
MU	μ	H
G	Γ	$\Gamma/2$

各パラメータは double 型で指定します.

6.2.3 計算実行

入力ファイル作成後, 以下のコマンドを入力することで実行できます (入力ファイルは param.in としています). スピン系とハードコアボソン系に応じて,

それぞれ実行ファイルが異なります.

1. スピン系の場合

```
$pmwa_H param.in
```

2. ハードコアボソンの場合

```
$pmwa_B param.in
```

計算終了後, 結果ファイル 1 つとリスタート用の一時ファイル 2 つ (evout_sample.log, RND_evout_sample.log) が出力されます.

6.2.4 出力ファイル

ここでは結果ファイル 1 つとリスタート用の一時ファイル 2 つについて, PMWA に特有のパラメータをそれぞれ記載します.

- 結果ファイル

Kind	Name	Description
P	L	三次元の格子情報
P	DOML	並列化により分割されたドメインの大きさ
P	DOMBETA	並列化により分割された逆温度のドメインサイズ
P	NDIVL	格子の分割数
P	NTEST	テストをするサンプルの数 (詳細はモンテカルロ計算の箇所説明)
R	nver	キンクとワームの数
R	nkin	キンクの数
R	wndx	x 方向のワインディング数の二乗の期待値
R	wndy	y 方向のワインディング数の二乗の期待値
R	wndz	z 方向のワインディング数の二乗の期待値
R	wnd2	ワインディング数の二乗の総数 (wndx+wndy+wndz)
R	bmxu	S_x の期待値 (uniform τ 積分)
R	bmpu	S_+ の期待値 (uniform τ 積分)
R	bmmu	S_- の期待値 (uniform τ 積分)
R	comp	圧縮率
R	lxmx	各サイトの局所的なワーム数の揺らぎ
I	the maximum number of vertices	バーテックスの最大数
I	the maximum number of worms	ワームの最大数

ここで種別は出力の各行の先頭に付与される文字で, P, R, I はそれぞれ Parameter, Result, Information を示します.

- リスタート用のファイル

PMWA ではリスタート機能が実装されており, 下記の 2 ファイルが存在する場合には強制的にリスタートが行われます. 以下, 各ファイルの出力内容について簡単に説明します.

1. evout_sample.log

計算終了時のサイクル数, ワールドラインの情報, バーテックスの情報について出力したファイル. 再計算時には読み込んだ配置を始条件として計算が行われます.

```

26 : 計算終了時のサイクル数
0 1 : ドメイン内のサイト 0 のワールドラインの情報
i/N beta, (i+1)/N beta 区間のワールドラインの情報 : 0: down, 1: up
0 0 : ドメイン内のサイト 1 のワールドラインの情報
1 1 : ドメイン内のサイト 2 のワールドラインの情報

```

(次のページに続く)

(前のページからの続き)

```

...
8 0.056997107 2 1 4 :バーテックスのラベル, tau, バーテックスの種類, ワールドラインの本数, ボン
ド番号
9 0.056997107 2 0 5
44 0.28066013 2 1 3

```

ここでバーテックスの種類については以下のものが定義されています。

バーテックスの種類	説明
-5	各ドメインにおける虚時間方向の始点及び終点. ドメイン分割しなくても有効.
-4(右), -2(左)	ドメインをまたぐ対角的バーテックス. ドメイン分割しなくても有効.
-3(右), -1(左)	ドメインをまたぐ非対角的バーテックス (キंक). ドメイン分割しなくても有効.
0	オンサイトバーテックス (ワーム以外).
1	2 サイトバーテックス.
2	キंक.
3	2 サイトバーテックス (次近接)(互換性のために残してあります).
4	その時動いているワーム (消滅演算子).
5	その時動いているワーム (生成演算子).
6	その時止まっているワーム (生成消滅関係なし), もしくは不要なバーテックス.
7	マーカー (虚時間相関関数測定用).

2. RNDevout_sample.log

乱数生成を行っているオブジェクトをバイナリ形式で出力したファイル. 再計算時には読み込んだ乱数情報を始条件として計算が行われます.

6.3 DSQSS/PMWA によるスピン鎖のエネルギー計算

このチュートリアルでは, $S=1/2$ の反強磁性ハイゼンベルグ鎖の基底状態エネルギー計算をすることで, DSQSS/PMWA の使い方を学びます.

DSQSS/PMWA による計算は,

1. 入力ファイルの準備
2. 計算の実行
3. 計算結果の解釈

の 3 段階に分かれます.

6.3.1 入力ファイルの準備

DSQSS/PMWA を実行するには、

1. 格子定義ファイル
2. パラメータファイル

の 2 つの入力ファイルが必要です。そのため、まずはこれらの入力ファイルを作成します。そのためのユーティリティツールが `dsqss_pre.py` です。これは単一の入力ファイルから、DSQSS/DLA および DSQSS/PMWA の入力ファイルを生成する Python スクリプトです。まず、`dsqss_pre.py` の入力ファイルとして、次の内容を持つテキストファイル `std.in` を準備します。

```
[System]
solver = PMWA
[Hamiltonian]
model_type = spin
Jxy = -1.0
Jz = -1.0
Gamma = 0.1
[Lattice]
lattice_type = square
D = 1
L = 16
Beta = 100
[Parameter]
CB = 1
SEED = 31415
NSET = 10
NMCS = 100
NPRES = 100
NTHERM = 100
NDECOR = 100
```

自分の好きなエディタで書くか、`sample/pmwa/1DDimer` ディレクトリにあるものを利用してください。このファイルを `dsqss_pre.py` に与えます。

```
$ $DSQSS_ROOT/bin/dsqss_pre.py -i std.in
```

この結果、パラメータファイル `param.in`、格子定義ファイル `lattice.xml` が作成されます。

6.3.2 計算の実行

入力ファイルを作成したら、DSQSS/PMWA による計算を実行します。

```
$ $DSQSS_ROOT/bin/pmwa_H param.in
```

なお、計算を実行するとき **MPI** を用いることで、乱数並列計算が可能です (入力ファイルの指定により空間分割、虚時間方向の分割を行うこともできます。詳細は **DLA** のユーザーマニュアルをご覧ください)。

```
$ mpiexec -np 4 $DSQSS_ROOT/bin/pmwa_H param.in
```

並列数 (今回は 4) だけ独立に計算を行い、モンテカルロサンプル数を増やすことで計算精度を向上できます。

6.3.3 計算結果の解釈

計算結果は出力ファイル `sample.log` に書き出されます。エネルギーは

```
$ grep ene sample.log
R ene = -0.5705441 0.0003774399737579577
```

となります。なお、**DSQSS/PMWA** の場合は横磁場を必ず入れる必要があります。そのため、ゼロ磁場にするには外挿する必要があるので、ご注意ください。

第 7 章

DSQSS/PMWA のユーザーマニュアル

7.1 DSQSS/PMWA の入力ファイル

DSQSS/DLA と DSQSS/PMWA の入力ファイルでは、共通するパラメータが多く存在します。ここでは DSQSS/DLA と使用方法が異なる、もしくは新規に追加されたパラメータについて記載します。

- 計算条件のパラメータ

Parameter	type	default	備考
RUNTYPE	int		計算モード (0: 通常計算,1: リスタート計算)
CB	int	0	初期配置 (0: Vacuum,1: Checker-Board,2: Random)
NSET	int	10	モンテカルロ計算の繰り返し数
NMCS	int	1000	測定する際のモンテカルロステップ (Number of Monte Carlo Steps)
NPRES	int	1000	ハイパーパラメータ決定のためのモンテカルロステップ数 (Number of Pre-calculation)
NTHERM	int	1000	空回しモンテカルロステップ数 (Number of Monte Carlo Steps for Thermalization)
NDECOR	int	1000	測定間の間隔数 (Decorrelation)
SEED	int	13	0 以上の場合は実際に使用するシード, 負の場合は乱数でシードを与える.
NVERMAX	int	100000000	バーテックスの最大数,-1 の場合は上限なし.
NWORMMAX	int	1000	ワームの最大数,-1 の場合は上限なし.
SFINPFILE	str		入力された場合, 本ファイルで指定された Structure Factors を計算する.
SFOUTFILE	str	sf.out	入力された場合,Structure Factors を指定したファイルに出力する.
Step_x	int	1	相関関数を計算する場合の空間幅を与える.
Step_k	int	1	波数表示の相関関数を計算する場合の波数空間幅を与える.
CFOUTFILE	str	cf.out	入力された場合, 相関関数を指定したファイルに出力する.

- 模型関連のパラメータ

Parameter	type	備考
beta	double	逆温度.
t	double	ボソン系では t を, スピン系では J_{xy} を表す.
U	double	ボソン系で U を表す. スピン系では使用されない.
V	double	ボソン系で V を, スピン系では J_z を表す.
MU	double	ボソン系では μ を, スピン系では H を表す.
G	double	ボソン系では Γ を, スピン系では $\Gamma/2$ を表す.
NMAX	-	1 に固定

入力ファイル例を以下に示します.

```
RUNTYPE = 0
NSET = 10
NMCS = 1000
NPRE = 1000
NTHERM = 1000
NDECOR = 1000
SEED = 31415
NC = 0
NVERMAX = 10000000
NWORMAX = 1000
algfile = algorithm.xml
latfile = lattice.xml
outfile = sample.log
CB = 2
G = 0.3
U = 0
V = 3
t = 1
MU = 2
NMAX = 1
```

7.2 DSQSS/PMWA の出力ファイル

PMWA では計算後, 結果ファイル 1 つとリスタート用の一時ファイル 2 つ (evout_sample.log, RND_evout_sample.log) を出力します.

- 結果ファイル

多くのパラメータは DLA と同じです. ここでは PMWA に特有もしくは DLA と異なったパラメータについて記載します.

Kind	Name	Description
P	L	三次元の格子情報
P	DOML	並列化により分割されたドメインの大きさ
P	DOMBETA	並列化により分割された逆温度のドメインサイズ
P	NDIVL	格子の分割数
P	NTEST	テストをするサンプルの数 (詳細はモンテカルロ計算の箇所説明)
R	nver	キンクとワームの数
R	nkin	キンクの数
R	wndx	x 方向のワインディング数の二乗の期待値
R	wndy	y 方向のワインディング数の二乗の期待値
R	wndz	z 方向のワインディング数の二乗の期待値
R	wnd2	ワインディング数の二乗の総数 (wndx+wndy+wndz)
R	bmxu	S_x の期待値 (uniform τ 積分)
R	bmpu	S_+ の期待値 (uniform τ 積分)
R	bmmu	S_- の期待値 (uniform τ 積分)
R	comp	圧縮率
R	lxmx	各サイトの局所的なワーム数の揺らぎ
I	the maximum number of vertices	バーテックスの最大数
I	the maximum number of worms	ワームの最大数

ここで種別は出力の各行の先頭に付与される文字で、P, R, I はそれぞれ Parameter, Result, Information を示します。

- リスタート用のファイル

PMWA ではリスタート機能が実装されており、下記の 2 ファイルが存在する場合には強制的にリスタートが行われます。以下、各ファイルの出力内容について簡単に説明します。

1. evout_sample.log

計算終了時のサイクル数、ワールドラインの情報、バーテックスの情報について出力したファイル。再計算時には読み込んだ配置を始条件として計算が行われます。

```

26 : 計算終了時のサイクル数
0 1 : ドメイン内のサイト 0 のワールドラインの情報
i/N beta, (i+1)/N beta 区間のワールドラインの情報 ; 0: down, 1: up
0 0 : ドメイン内のサイト 1 のワールドラインの情報
1 1 : ドメイン内のサイト 2 のワールドラインの情報

```

(次のページに続く)

(前のページからの続き)

```

...
8 0.056997107 2 1 4 :バーテックスのラベル, tau, バーテックスの種類, ワールドラインの本数, ボン
ド番号
9 0.056997107 2 0 5
44 0.28066013 2 1 3

```

ここでバーテックスの種類については以下のものが定義されています。

バーテックスの種類	説明
-5	各ドメインにおける虚時間方向の始点及び終点（ドメイン分割しなくても有効）
-2(左), -4(右)	ドメインをまたぐ対角的バーテックス（ドメイン分割しなくても有効）
-1(左), -3(右)	ドメインをまたぐ非対角的バーテックス（キंक）（ドメイン分割しなくても有効）
0	オンサイトバーテックス（ワーム以外）
1	2 サイトバーテックス
2	キंक
3	2 サイトバーテックス（次近接）（互換性のために残してあります）
4	その時動いているワーム（消滅演算子（このワームより τ が小さい側の方がワールドラインの本数が多い））
5	その時動いているワーム（生成演算子（このワームより τ が大きい側の方がワールドラインの本数が多い））
6	その時止まっているワーム（生成消滅関係なし, 双方向リストには繋がっている）, もしくはいらなくなった（双方向リストに繋がっていない）バーテックス
7	マーカー（虚時間相関関数測定用）

2. RNDevout_sample.log

乱数生成を行っているオブジェクトをバイナリ形式で出力したファイル。再計算時には読み込んだ乱数情報を始条件として計算が行われます。

第 8 章

アルゴリズム

8.1 経路積分サンプリング

DSQSS では、分配関数を

$$Z \equiv \text{Tr} e^{-\beta H} = \sum_S W(S)$$

と経路積分表示したのち、マルコフ過程によって状態 S を確率的時系列的に発生し、これをサンプリングします（経路積分モンテカルロ法）。ここで H は系を記述するハミルトニアンで、「状態」とは $d+1$ 次元時空上で定義された古典変数の場です（モデルが定義されている空間次元を d として、これに虚数時間軸を加えたものを $d+1$ 次元時空と呼びます）。また c -数 $W(S)$ は状態 S のボルツマン重みです。「状態」をひとつ定めることは、スピンや粒子の空間的な配置が虚数時間の増加に伴って変化する経路をひとつ定めることと等価であるため、状態 S は「経路」とも呼ばれます。ボーズ粒子系のように局所的な粒子数保存則が成立する場合に、状態を粒子の存在位置を実線でつないだ軌跡（＝世界線）の集まりとして視覚化することが多いため、経路積分モンテカルロ法は「世界線モンテカルロ法」とも呼ばれます。マルコフ過程の遷移確率は、定常分布において状態の出現頻度が重み $W(S)$ に比例するように定義されます。マルコフ過程で順次出現する状態を $S_t (t = 1, 2, 3, \dots)$ とした時、演算子 Q の期待値

$$\langle Q \rangle \equiv \text{Tr}(Q e^{-\beta H}) / \text{Tr}(e^{-\beta H})$$

は Q に対応する観測量 $Q(S)$ の統計的期待値

$$\langle Q \rangle_{\text{MC}} \equiv \frac{1}{N_{\text{MCS}}} \sum_{t=N_{\text{therm}}+1}^{N_{\text{MCS}}+N_{\text{therm}}} Q(S_t)$$

によって近似されます。この近似は初期条件の影響による系統誤差と、サンプリングによる統計誤差を含みます。系統誤差が無視できるためには、空回し数 N_{therm} が初期緩和時間よりも大きいことが必要で、その限りでは指数関数的に速やかに収束します。一方統計誤差はサンプル数 N_{MCS} を大きくしたときに、この $1/2$ 乗に逆比例して小さくなるのが期待されます。

8.2 ワーム更新法

マルコフ過程の遷移確率の構成方法, すなわち状態更新方法にはいろいろな種類があり, それぞれ利点・欠点があります. スピン系, ボーズ系のシミュレーションで用いられる代表的な更新方法はループ更新とワーム更新です. ループ更新は全系をループと呼ばれるクラスターに分割してループごとに状態更新するもので, 高速な更新が可能だが, 一様磁場中での反強磁性体やボーズ系では効率が著しく低下してしまいます. 一方ワーム更新は, 全系に保存則を破る点(ワーム)を2つ導入して, これらの点を移動させることで状態を更新する方法です. ワームは非対角成分のみをもつ演算子に対応します. たとえば, 各点での粒子数が対角化されている表示を用いたボーズ系のシミュレーションでは, ワーム演算子として生成消滅演算子を用います. このとき, ワームの前後の虚数時刻では粒子数が1だけ異なっていて, このワームが移動すると, ワームが通過した部分の粒子数は通過前から1だけ変化し, ワームの移動によって状態が更新されていきます. ワーム更新法は, 上記のループ更新に比べると広い範囲のモデルで有効です.

オリジナルのワーム更新法では, ワームは虚時間方向および実空間方向にランダムウォークしていました. 一方, ワームの空間方向での移動が起きる候補であるバーテックスを, ループ更新と同様にあらかじめ作り, ワームはバーテックスにぶつかるまで虚時間方向で直進するようにしたものが向き付きループアルゴリズム (DLA) です. DSQSS/DLA は DLA を実装したプログラムです.

8.3 マルチワームアルゴリズム

DLA ではただひとつのワームヘッドを動かすことで状態を更新しているため, 時空間分割などの非自明並列が行えません. この問題を解決するために提案されたアルゴリズムが, ワーム対の個数制限を取り除いたマルチワームアルゴリズム (MWA) およびその時空間並列版アルゴリズムである PMWA です. DSQSS/PMWA は PMWA を実装したプログラムです.

8.4 on-the-fly バーテックス法

ワーム更新法では, ワームの生成, ワームの時間方向の移動, ワームの空間方向の移動(散乱), ワームの消滅などからなるサイクルが更新の時間的単位となっていて, このサイクルを繰り返すことで逐次的に状態が更新されます. このうちワームの空間方向の移動を実現する仕方として, 移動の起こる場所(バーテックス)をあらかじめ全系に配置しておくやり方(固定バーテックス法)と, ワームの進行方向に必要なに応じて配置するやり方(on-the-fly バーテックス法)とがあります. 固定バーテックス法では, 状態更新の基本的単位(1モンテカルロステップ)は,

1. バーテックスの配置
2. ワームの生成から消滅までの(複数)サイクル

のふたつのフェーズからなりますが, on-the-fly バーテックス法ではこのうちの2のみを行います.

DSQSS/DLA では, on-the-fly バーテックス法を, DSQSS/PMWA では固定バーテックス法を採用します.

8.5 バーテックス配置

分配関数に現れる重み $W(S)$ は格子点 i, j 間の相互作用を H_{ij} として,

$$W(S) = \prod_{(ij), \tau} \langle S_i(\tau + \Delta\tau) S_j(\tau + \Delta\tau) | e^{-\Delta\tau H_{ij}} | S_i(\tau) S_j(\tau) \rangle$$

と書けます。ここで、虚数時間 τ に関する積は $\Delta\tau$ を単位として離散化されているとしました（これは説明のためであり、実際の計算では連続虚数時間で行われます）。 H_{ij} で相互作用する実空間の 2 点 i, j に関して、虚数時間区間 $[0, \beta)$ は状態 $S_i(\tau)$ か $S_j(\tau)$ に不連続変化がある時刻によって有限個の区間に分割されます。各区間内では、2 点の状態は $S_i(\tau), S_j(\tau)$ は一定であり、密度

$$\langle S_i S_j | E_0 - H_{ij} | S_i S_j \rangle$$

でバーテックスが一様ランダムに確率的に配置されます。ここで、エネルギーシフト E_0 はある定数であり、上記の密度が正である限り任意にとることができます。状態一定の区間に配置されるこれらのバーテックスに加えて、状態変化（キंक）のある虚数時刻に対しては、確率 1 でその時刻にバーテックスが配置されます。バーテックスはファインマンダイアグラムを用いた分配関数の展開における相互作用グラフに対応します。

8.6 ワームの生成・消滅

ワームの生成にあたっては、まず状態遷移先の候補として、時空から一様ランダムに時空点 i, τ とワーム対を表す非対角演算子対 Q, Q' を選びます。次に確率 p_{create} で実際にワーム対を生成します。消滅はこの逆過程であり、ワーム対が同じ時空点に来た時に一定の確率 $p_{\text{annihilate}}$ で消滅します。これらの確率は次の式で表される詳細つり合い条件

$$\frac{\Delta\tau}{\beta N_{\text{site}} N_Q} \times p_{\text{create}} = p_{\text{annihilate}} \times (\eta \Delta\tau)^2 \langle S_i(\tau) | Q_i | S'_i(\tau) \rangle \langle S'_i(\tau) | Q'_i | S_i(\tau) \rangle$$

が成り立つように定められます。ここで、 N_Q は取りうる Q の数で、 S' は $\langle S | Q | S' \rangle$ が非ゼロの値を取る（普通は S, Q の組に対して一意に定まる）状態です。また、 η はワーム演算子に共役な場の量で、例えばスピン系でワーム演算子を昇降演算子にとったときは横磁場（の半分）です。DLA では、 η の値は任意にとれるので、DSQSS/DLA の補助ツール `dla_alg` では $\eta^{-2} = \beta N_{\text{site}} N_Q \Delta\tau \max_{S, Q} |\langle S | Q_i | S' \rangle|^2$ とすることで

$$p_{\text{create}} = |\langle S_i(\tau) | Q_i | S'_i(\tau) \rangle|^2 / \max_{S, Q} |\langle S | Q_i | S' \rangle|^2$$

かつ $p_{\text{annihilate}} = 1$ としています。algorithm.xml をユーザが独自に編集することで、ユーザの指定した生成消滅確率でシミュレーションを行うことも可能です。

8.7 ワームの散乱

バーテックスにおけるワームの散乱は、バーテックス自体の重みとワームの持つ重みとの間に詳細つり合いが成立するように決定されます。たとえば、虚数時刻が増加する方向にサイト i 上を移動してきたワームが虚数時刻 τ に

あるバーテックスに当たり, サイト j を虚数時刻が減少する方向に出ていく過程を考えると, このような衝突が選ばれる確率 P と, 逆向きの衝突が選ばれる確率 P' との間には

$$\begin{aligned} & P \times \langle S_i(\tau+0)S_j(\tau+0)|E_0 - H_{ij}|S_i(\tau)S_j(\tau)\rangle \langle S_i(\tau)|Q_i|S'_i\rangle \\ & = P' \times \langle S_i(\tau+0)S_j(\tau+0)|E_0 - H_{ij}|S'_i(\tau)S'_j(\tau)\rangle \langle S'_j(\tau)|Q_j|S_j\rangle \end{aligned}$$

の関係が満たされる必要があります. ここで Q_i, Q_j はワームを表す非対角演算子, $S'_i(\tau), S'_j(\tau)$ はワームが通過した後のそれぞれのサイト, 時刻の状態です. DSQSS/DLA では, algorithm.xml ファイルをユーザが直接編集することによって, 任意の散乱確率を指定できるほか, ハミルトニアンを指定したときに, このような条件を満たす散乱確率を自動的に計算する補助ツール dla_alg を持っています.

8.8 参考文献

- N. Kawashima and K. Harada, "Recent Developments of World-line Monte Carlo Methods", Journal of the Physical Society of Japan, Vol. 73, 1379-1414 (2004).
- J. Gubernatis, N. Kawashima, and P. Werner, "Quantum Monte Carlo Methods; Algorithms for Lattice Models", Cambridge University Press (2016).